

力学量 t_{ij} を用いた粘土の弾・粘塑性構成モデル

名古屋工業大学 正員 中井 照夫

学生員 ○都築 順司

現在までに、中間主応力の影響や、ひずみ増分方向の応力経路依存性を考慮した粘土の弾塑性構成式 (t_{ij} -clay model) を提案している。本報告では、関口による非定常流動曲面型の粘塑性理論を導入することにより、従来の t_{ij} -clay 弾塑性構成式の特徴を生かし、かつ時間効果特性の表現も可能な弾・粘塑性構成モデルの説明を試みる。

1. 力学量 t_{ij} を用いた弾・粘塑性モデルの概要

一般に粘土の応力-ひずみ関係を記述するには、①変形、強度特性におよぼす中間主応力の影響、②変形特性におよぼす応力経路の影響、③時間効果特性、④過密等の応力履歴の影響、などを考慮する必要がある。本モデルでは、力学量 t_{ij} を用いることにより①の性質を、また粘塑性ひずみ速度 $\dot{\epsilon}_{ij}^{vp}$ を関連流動則成分 $\dot{\epsilon}_{ij}^{vp(AF)}$ と等方圧縮成分 $\dot{\epsilon}_{ij}^{vp(IC)}$ に分離することにより②の性質を、関口による粘塑性理論を使うことにより③の性質を表現する。

まず力学量 $t_{ij}^{(4)}$ は(1)式で与えられる対称テンソルであり、 σ_{kj} は応力テンソルを、 a_{ik} は空間滑動面(SMP)の方向余弦 a_i ($i=1, 2, 3$) (応力の2次、3次の不変量 J_2, J_3 を用いて(2)式で与えられる。)を主値とするテンソルを表す。

$$t_{ij} = a_{ik} \cdot \sigma_{kj} \quad (1)$$

$$a_i = \sqrt{J_3} / (\sigma_i \cdot J_2) \quad (i = 1, 2, 3) \quad (2)$$

また、 t_{ij} -clay model の応力パラメーター (t_N, t_s) は、 t_1 の主値を用い次式で与えられ、SMP上の垂直応力 σ_{SMP} 、せん断応力 τ_{SMP} と一致する。

$$t_N = t_1 a_1 + t_2 a_2 + t_3 a_3 \equiv \sigma_{SMP} \quad (3)$$

$$t_s = \sqrt{(t_1 a_2 - t_2 a_1)^2 + (t_2 a_3 - t_3 a_2)^2 + (t_3 a_1 - t_1 a_3)^2} \equiv \tau_{SMP} \quad (4)$$

関口は Cam-clay model あるいは、太田モデルに非定常流動曲面を有する粘塑性理論を適用した形になる粘土の弾・粘塑性構成モデルを提案しているが、ここでは t_{ij} -clay model に関口の粘塑性理論を適用することにより、 t_{ij} -clay model を時間効果を含む一般的な構成モデルに拡張する。粘土の体積ひずみ ϵ_v^e が弾性成分 ϵ_v^e 、塑性成分 ϵ_v^p 、および粘性成分 ϵ_v^v の和で表わされると考え、各成分を次式で与える。

$$\epsilon_v^e = \frac{k}{1+k} \ln \left(\frac{P}{P_0} \right) \quad (5)$$

$$\epsilon_v^p = f = \frac{\lambda - k}{1+k} \left[\ln \frac{t_N}{t_{N0}} - \frac{\alpha}{1-\alpha} \ln |1 - (1-\alpha) \frac{X}{M^*}| \right] \quad (6)$$

$$\epsilon_v^v = C_e \ln \left(\frac{\epsilon_v^v}{\epsilon_v^e} \right) \quad (7)$$

ここに ϵ_v^e は膨潤指數 k を用いた弾性式で、 ϵ_v^p は、弾塑性 t_{ij} -clay model の降伏関数で、 ϵ_v^v は2次圧縮指數 C_e を用いて表わされている。また(6)式において

$$X \equiv t_s / t_N, \quad M^* = X_f + \alpha Y_f \quad (\alpha; \text{土質パラメーター})$$

であり、 X_f, Y_f は三軸圧縮条件の破壊時の有効応力比 $R_f \equiv (\sigma_1 / \sigma_3)_f$ (comp.) を用いて次式で表わされる。

$$X_f = \frac{\sqrt{2}}{3} (\sqrt{R_f} - 1 / \sqrt{R_f}) \quad (8) \quad Y_f = \frac{1 - \sqrt{R_f}}{\sqrt{2} (\sqrt{R_f} + 1/2)} \quad (9)$$

ここで、非弾性体積ひずみ ($\epsilon_v^p + \epsilon_v^v$) を弾・粘塑性モデルの硬化パラメーターと考え、その粘塑性ポテンシャル(降伏関数)を求めるとき、関口モデル同様(10)式が得られる。

$$F = C_e \ln \left\{ \frac{\epsilon_v^v + \epsilon_v^p}{C_e} \exp \left(\frac{f}{C_e} \right) + 1 \right\} = \epsilon_v^{vp} \quad (10)$$

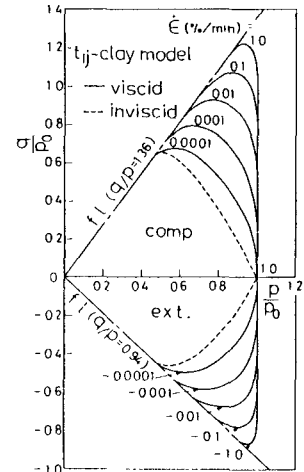
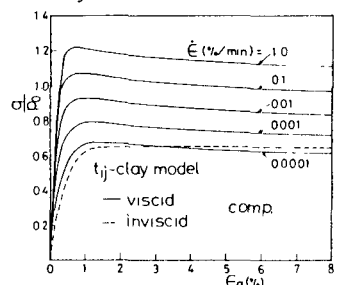
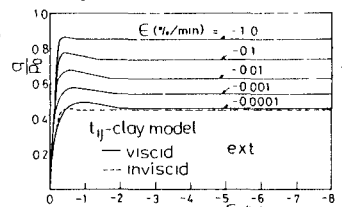
そして弾塑性 t_{ij} -clay model 同様、非弾性ひずみ速度は t_{ij} 空間で関連流動則を満足する成分 $\dot{\epsilon}_{ij}^{vp(AF)}$ と等方的な圧縮成分 $\dot{\epsilon}_{ij}^{vp(IC)}$ に分離できると考えれば全ひずみ速度 $\dot{\epsilon}_{ij}$ は

$$\dot{\epsilon}_{ij} = \dot{\epsilon}_{ij}^e + \dot{\epsilon}_{ij}^{vp} = \dot{\epsilon}_{ij}^e + \dot{\epsilon}_{ij}^{vp(AF)} + \dot{\epsilon}_{ij}^{vp(IC)} \quad (11)$$

で表わされ、各成分は次式で表わされる。

$\lambda / (1-e_0)$	5.08×10^{-2}
$\chi / (1-e_0)$	1.12×10^{-2}
$\phi'(\text{comp})$	33.7°
α	0.7
v_e	0.0
C_e	0.0035
$\epsilon_{vo} (\%/\text{min})$	1.0×10^{-5}

表-1 土質パラメーター

図-1 有効応力経路の解析値
(t_{ij} -clay model: 三軸圧縮・伸張)図-2 せん断応力-主ひずみ関係
(t_{ij} -clay model: 三軸圧縮)図-3 せん断応力-主ひずみ関係
(t_{ij} -clay model: 三軸伸張)

$$\dot{\epsilon}_{ij}^e = \frac{1+v_e}{E_e} \dot{\sigma}_{ij} - \frac{v_e}{E_e} \dot{\sigma}_{\alpha\alpha} \delta_{ij} \quad (12)$$

$$\dot{\epsilon}_{ij}^{vp(AF)} = \Lambda \frac{\partial F}{\partial t_{ij}} \quad (13)$$

$$\dot{\epsilon}_{ij}^{vp(IC)} = \frac{\delta_{ij}}{3} K < t_N > \quad (14)$$

なお、ここで提案モデルにおいて、(6)式の弾塑性 t_{ij} -clay model の降伏関数を Cam-clay model または、太田モデルの降伏関数

$$f = \frac{\lambda - K \ln \frac{P}{P_0} + D(\frac{q}{P} - \frac{q_0}{P_0})}{1 + e_o} \quad (15)$$

における(13)式の代りに、 σ_{ij} 空間に連続流動則 ($\dot{\epsilon}_{ij}^{vp} = \Lambda \frac{\partial F}{\partial \sigma_{ij}}$) を仮定し、 $\dot{\epsilon}_{ij}^{vp(IC)}$ を 0 にすれば、開口モデルに帰着する。

2. 解析結果

ここでは、ひずみ速度を変化させた非排水せん断試験の解析を行なう。なお、この場合、有効応力経路は、 $dt_N < 0$ となるため、 $\dot{\epsilon}_{ij}^{vp(IC)}$ 成分((14)式)は 0 となる。表-1に本解析に用いた土質パラメーターを示す。 λ 、 K 、 ϕ 、 α 、 v_e は従来の弾塑性 t_{ij} -clay model と同じパラメーターであり、 C_e は標準圧密試験から得られた二次圧縮指數、 $\dot{\epsilon}_{vo}^e$ は初期基準体積ひずみ速度である。図-1は、非排水三輪圧縮・伸張試験の有効応力経路を、 $\dot{\epsilon} (= \frac{2}{3} (\dot{\epsilon}_a - \dot{\epsilon}_r))$ をパラメーターとし、($q = \sigma_a - \sigma_r$ 、 $P = (\sigma_a + 2\sigma_r)/3$)空間で示したものである(図中の P_0 は圧密終了時の p を表す)。実線は本モデルの解析値を、破線は粘性を考慮しない従来の t_{ij} -clay model の解析値を示している。図-2,3は、応力-ひずみ関係を $q - \epsilon_a$ で整理したもので、図-2は圧縮試験を、図-3は伸張試験を表わしている。図-4,5は開口モデルで解析した(土質パラメーターは提案モデルと共に)、有効応力経路、応力-ひずみ関係を表わしている。ここに Cam-clay model をベースとする、開口モデルでは、図-1-3に示す、圧縮・伸張の差異は表わせず、圧縮・伸張条件下で同じ結果になる。また、図-6,7はそれぞれ提案モデルを用いた、非排水平面ひずみ試験の有効応力経路($(q = \sigma_1 - \sigma_3, (\sigma_1 + \sigma_3)/2)$ 関係)、応力-ひずみ関係を、示している。

以上図-1-7より、開口モデルでは、ひずみ速度効果はよく表現されているものの、三輪圧縮・伸張の差異は表現できないことがわかる。一方、提案モデルでは、ひずみ速度の違いによる力学挙動の差異だけでなく、三輪圧縮・伸張、平面ひずみ等の応力条件の違いによる差異も、よく表現できている。

また、図-8に平面ひずみ試験の中間主応力の変化を表すために、 b 値($= (\sigma_2 - \sigma_3)/(\sigma_1 - \sigma_3)$)の変化の解析結果を示す。破壊時の b 値は、ほぼ 0.33 となり、報告されている多くの実測と良い対応を示している。

なお、ここでは、 t_{ij} -clay model に非定常流動曲面を有する開口の粘塑性理論を適用したが、岡は、超過応力型の弾・粘塑性モデルに、力学量 t_{ij} を組み込むことにより、中間主応力の影響を考慮した別の形の弾・粘塑性構成モデルを導入している。

附録 日頃御援助頂いている本学山内 利彦教授、御指導、御助言を頂いた松岡 元助教授に感謝致します。

参考文献

- 1) 中井、松岡、藤原、春木 (1984) : 第19回土質工学研究発表会 vol.1, pp.451-454.
- 2) 中井 (1984) : 第20回土質工学研究発表会 vol.1, pp.393-396.
- 3) 開口 (1977) : Proc. of 9th ICSMFE vol.1, pp.289-292.
- 4) 中井、三原 (1984) : Soils and Foundations vol.24, No.2, pp.82-94.
- 5) Schfield-Wroth (1968) : Critical State Soil Mechanics
- 6) 太田 (1971) : 京都大学博士論文
- 7) 足立、岡 (1982) : Soils and Foundations vol.22, No.4, pp.57-70.
- 8) 岡 (1986) : Proc. of NUMOG II

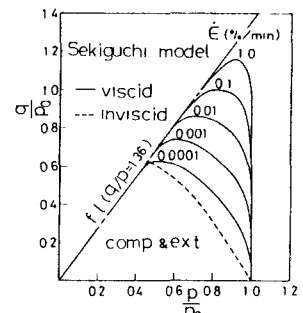


図-4 有効応力経路の解析値
(開口モデル: 三輪圧縮・伸張)

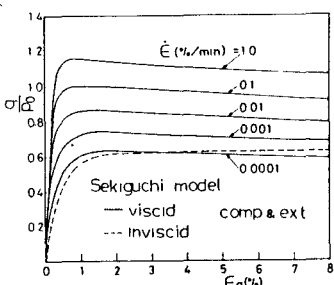


図-5 せん断応力-主ひずみ関係
(開口モデル: 三輪圧縮・伸張)

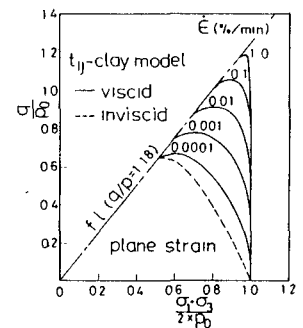


図-6 有効応力経路の解析値
(t_ij-clay model: 平面ひずみ)

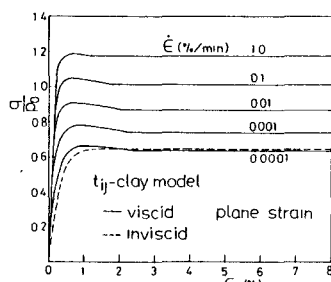


図-7 せん断応力-主ひずみ関係
(t_ij-clay model: 平面ひずみ)

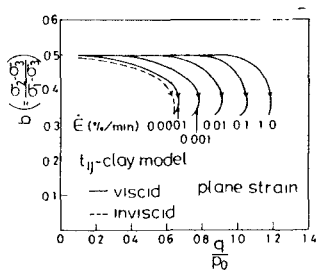


図-8 せん断応力-b 値関係
(t_ij-clay model: 平面ひずみ)